

自动控制原理 控制工程基础 补天笔记 part2

第五章 控制系统稳定性分析

稳定的充要条件

系统稳定与以下条件等价

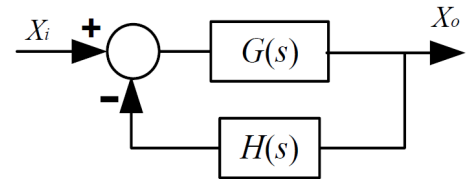
1. 系统的所有闭环极点，均具有负的实部
2. 所有闭环极点，均严格位于左半S平面
3. 闭环特征方程的根均具有负的实部

劳斯判据

对于右图所示系统，**闭环传递函数** $G(s) = \frac{G(s)}{1 + G(s)H(s)}$ 。闭环传递函数的分母 $1 + G(s)H(s) = 0$ 为系统的特征方程。

设特征方程为

$$a_0 s^n + a_1 s^{n-1} + \dots + a_{n-1} s + a_n = 0$$



判断系统是否稳定前先检查其必要条件：**所有系数** $a_0, a_1, \dots, a_n > 0$ (**或均<0**)，如果不满足系统就不稳定。

劳斯阵列的构造方法

列出如右图所示劳斯阵列，步骤如下：

1. 根据特征方程的系数，按图示方法填写阵列的第一、二行；
2. 从第三行起，每个元素的分母为其上一行的第一个元素，分子为**其前两行的第一列两个元素和其前两行的下一列两个元素合成的2x2矩阵行列式值的相反数**（见下公式）

具体地说，有

$$b_1 = \frac{a_1 a_2 - a_0 a_3}{a_1}, b_2 = \frac{a_1 a_4 - a_0 a_5}{a_1}$$

3. 依此类推，直到阵列的第n+1行；即 s_0 行

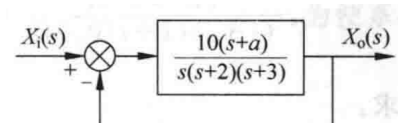
s^n	a_0	a_2	a_4	a_6	...
s^{n-1}	a_1	a_3	a_5	a_7	...
s^{n-2}	b_1	b_2	b_3	b_4	...
s^{n-3}	c_1	c_2	c_3	c_4	...
:	:	:	:	:	
s^2	u_1	u_2			
s^1	v_1				
s^0	w_1				

劳斯稳定判据判断系统的稳定性

1. 劳斯阵列第一列所有项 $> 0 \Rightarrow$ 系统稳定
2. 劳斯阵列第一列存在 < 0 的项 \Rightarrow 系统不稳定
3. 劳斯阵列第一列存在 $= 0$ 的项 \Rightarrow 系统处于临界稳定状态
4. 对于二阶系统，有一个很好的结论：系数均大于0即稳定。
5. 对于三阶系统，若其特征根方程为 $Ax^3 + Bx^2 + Cx + D = 0$ ，则劳斯判据等价为 $A > 0, B > 0, D > 0, BC - AD > 0$

例题

对于右图系统，确定使系统特征值均落在 s 平面上 $Re = -1$ 这条线左边的 a 值。



$$\frac{X_o}{X_i} = \frac{\frac{10(s+a)}{s(s+2)(s+3)}}{1 + \frac{10(s+a)}{s(s+2)(s+3)}} = \frac{\dots}{s^3 + 5s^2 + 16s + 10a}$$

令 $s = z - 1$, 那么如果对于 z 来说所有的特征根实部均小于 0, 那么对于 s 来说所有的特征根实部都小于 -1

代入特征方程, 化简得

$$z^3 + 2z^2 + 9z + 10a - 12 = 0$$

$$\begin{array}{ccc} s^3 & 1 & 9 \\ s^2 & 2 & 10a-12 \\ s^1 & 15-5a \\ s^0 & 10a-12 \end{array}$$

列出劳斯阵列, 第一列所有项都大于 0

解得 $1.2 < a < 3$

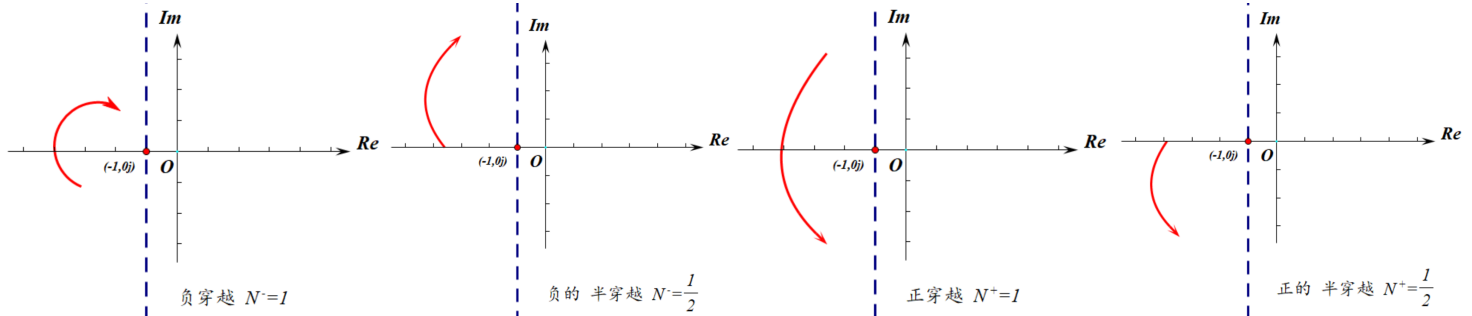
奈奎斯特判据

$$Z = P - 2(N^+ - N^-) = 0$$

这里 Z 为右半 s 平面上闭环特征根的个数

P 为右半 s 平面上开环极点的个数

在 s 平面上, 我们只看 $Re = -1$ 线的左边, 在这个区域内, 如果奈氏图 (包括虚线) 顺时针穿越实轴, 记为一次负穿越, 即 N^- , 如果逆时针穿越实轴, 记为一次正穿越, 即 N^+ , 如果奈氏图是从实轴出发的, 那么叫做半穿越, 同样是逆正顺负, 但是一次半穿越只记 $\frac{1}{2}$



如果奈氏图穿过 $(-1, 0)$ 点, 那么系统临界稳定

系统稳定与闭环特征方程的根均具有负的实部等价, 也就是说 $Z = 0$ 时系统稳定。

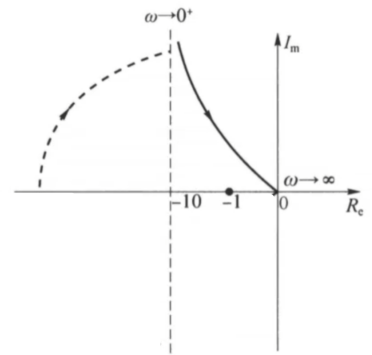
例题

系统开环传递函数 $G(s) = \frac{10(s+0.5)}{s(s+1)(s-1)}$, 用奈奎斯特判据判断闭环系统稳定性。

容易得到 $P = 1$

画出右图所示奈奎斯特图, 发现只有一个负的半穿越

$$Z = P - 2(N^+ - N^-) = 2 \neq 0$$



系统不稳定。

稳定裕量

稳定裕量的概念适用于“开环是最小相位系统”的闭环系统。

剪切频率/截止频率

剪切频率 ω_c 是使得 $|G(j\omega_c)| = 1$ 的频率，在乃氏图上表示为乃氏图与单位圆的交点处的频率。在伯德图上表现为伯德图与横轴的交点。

穿越频率

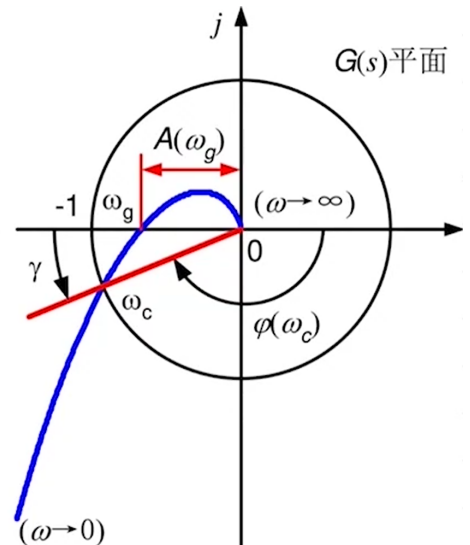
穿越频率 ω_g 是使得 $\angle G(j\omega_g) = -180^\circ$ 的频率，在乃氏图上表示为乃氏图与负实轴的交点处的频率。

相角裕度

$$\gamma = 180^\circ + \angle G(j\omega_c)$$

幅值裕度/增益裕度

$$K_g = \frac{1}{|G(j\omega_g)|}$$



K_g 大小	γ 大小	系统稳定性
$K_g > 1$	$\gamma > 0$	系统稳定
$K_g = 1$	$\gamma = 0$	系统临界稳定
$K_g < 1$	$\gamma < 0$	系统不稳定

第六章 控制系统的误差分析和计算

偏差（按输入定义的误差）定义为

$$\epsilon(t) = x_i(t) - y(t)$$

其中 $x_i(t)$ 为输入信号， $y(t)$ 为反馈信号

误差（按输出定义的误差）定义为

$$e(t) = x_{oi}(t) - x_o(t)$$

其中 $x_{oi}(t)$ 为期望输出的信号， $x_o(t)$ 是实际输出的信号。误差信号的稳态分量即为稳态误差，记为 e_{ss}

根据终值定理，有

$$e_{ss} = \lim_{t \rightarrow \infty} e(t) = \lim_{s \rightarrow 0} sE(s)$$

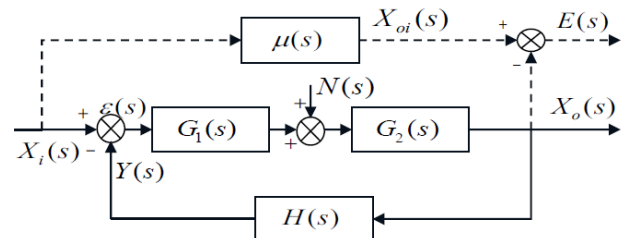
负反馈系统的稳态误差

求稳态误差之前一定要先判稳。稳定的系统才有稳态误差。

如右图，根据定义，偏差为

$$\epsilon(s) = X_i(s) - Y(s) = X_i(s) - X_o(s)H(s)$$

$X_i(s)$ 通过负反馈系统得到 $X_o(s)$ ，等价于经过一个理想传函 $\mu(s)$ ，得到一个

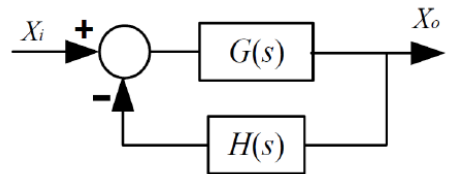


理想的输出 $X_{oi}(s)$, 根据误差的定义, 误差 $E(s) = X_{oi}(s) - X_o(s) = \mu(s)X_i(s) - X_o(s)$ 。在实际负反馈控制系统中, 偏差 $\epsilon(s)$ 趋近于零, 从而有 $\mu(s)X_i(s) = X_o(s) = \frac{Y(s)}{H(s)} = \frac{X_i(s)}{H(s)}$, 从而得到 $\mu(s) = \frac{1}{H(s)}$

$$E(s) = \mu(s)X_i(s) - X_o(s) = \frac{1}{H(s)}X_i(s) - X_o(s) = \frac{\epsilon(s)}{H(s)}$$

考虑右图这种最简单的负反馈系统, 根据终值定理, 有稳态误差

$$e_{ss}(t) = \lim_{s \rightarrow 0} s \frac{E(s)}{X_i(s)} X_i(s) = \lim_{s \rightarrow 0} s \frac{1}{H(s)(1 + G(s)H(s))} X_i(s)$$



稳态偏差

$$\epsilon_{ss}(t) = \lim_{s \rightarrow 0} s \frac{\epsilon(s)}{X_i(s)} X_i(s) = \lim_{s \rightarrow 0} s \frac{1}{1 + G(s)H(s)} X_i(s)$$

特别的, 当系统为单位负反馈系统, 即 $H(s) = 1$ 时, 偏差与误差相等, 有稳态误差

$$e_{ss}(t) = \epsilon_{ss}(t) = \lim_{s \rightarrow 0} s \frac{1}{1 + G(s)} X_i(s)$$

注: 简单来说, 偏差 ϵ 就是比较点后的那个值, 而误差就是 $\frac{\epsilon}{H(s)}$

静态误差系数法

值得一提的是, 静态误差系数法求得的是 **稳态偏差 (即按输入定义的误差)**, 而我们一般所说的稳态误差只有在单位反馈系统才与稳态偏差相等。

使用该方法首先要将开环传递函数 $G(s)H(s)$ 化为尾1型, 即 $G(s)H(s) = \frac{K(T_1 s + 1) \cdots}{s^v(T_2 s + 1) \cdots}$, 设 $G(s)H(s) = \frac{K}{s^v} G(0)$, 则易知

$$\lim_{s \rightarrow 0} G_0 = 1$$

由终值定理

$$\epsilon_{ss} = \lim_{s \rightarrow 0} s \frac{1}{1 + G(s)H(s)} X_i(s) = \lim_{s \rightarrow 0} s \frac{1}{1 + \frac{K}{s^v} G_0} X_i(s) = \lim_{s \rightarrow 0} s \frac{1}{1 + \frac{K}{s^v}} X_i(s)$$

以输入为单位阶跃响应为例, 此时 $X_i(s) = \frac{1}{s}$

$$\epsilon_{ss} = \lim_{s \rightarrow 0} \frac{1}{1 + \frac{K}{s^v}}$$

我们仅对 $v = 0, 1, 2$ 进行讨论, 可知 $v = 0$ 时, $\epsilon_{ss} = \frac{1}{1 + K}$
 $v = 1, 2$ 时, $\epsilon_{ss} = 0$

可以列出以下表格

系统类别	单位阶跃 $1(t)$	等速输入 t	加速度输入 $\frac{1}{2}t^2$
0型	$\frac{1}{1+K}$	∞	∞
I型	0	$\frac{1}{K}$	∞
II型	0	0	$\frac{1}{K}$

由于

$$\epsilon_{ss} = \lim_{s \rightarrow 0} s \frac{1}{1 + \frac{K}{s^v}} X_i(s) = \lim_{s \rightarrow 0} \frac{1}{\frac{1}{sX_i(s)} + \frac{K}{s^{v+1} X_i(s)}}$$

该式的值完全由 $\lim_{s \rightarrow 0} \frac{K}{s^{v+1} X_i(s)}$ 决定，将该式定义为静态误差系数，得到表格如下

系统类别	静态位置误差系数 K_p	静态速度误差系数 K_v	静态加速度误差系数 K_a
0型	K	0	0
I型	∞	K	0
II型	∞	∞	K

综上，对于典型输入信号组合 $x_i(t) = A \cdot 1(t) + Bt + \frac{1}{2}Ct^2$

稳态偏差为

$$\boxed{\epsilon_{ss} = \frac{A}{1+K_p} + \frac{B}{K_v} + \frac{C}{K_a}}$$

干扰引起的稳态误差

干扰其实就是一个输入。当系统存在多个输入时，将各个输入的稳态误差相加即可得到系统的稳态误差。即

$$e_{ss} = e_{ssr} + e_{ssn}$$

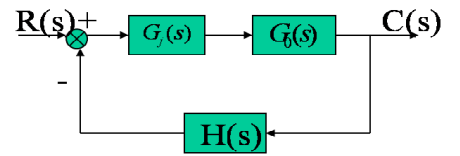
需要注意的是，我们的误差是由题目中的输入 $R(s)$ 决定，而不是干扰 $N(s)$ ，这一点上他们不能等同看待。

第七章 控制系统的综合与校正

在此章中学到的校正均为串联校正，即在需要校正的系统中，将校正器 $G_c(s)$ 与被校正系统 $G_0(s)$ 串联，从而达到改善系统性能的目的。

超前校正

相位超前校正，顾名思义，是为了提高相位角。因此，超前校正环节的伯德图中，相位角是大于0的，从而增加系统的相位裕度。
超前校正环节的传递函数为

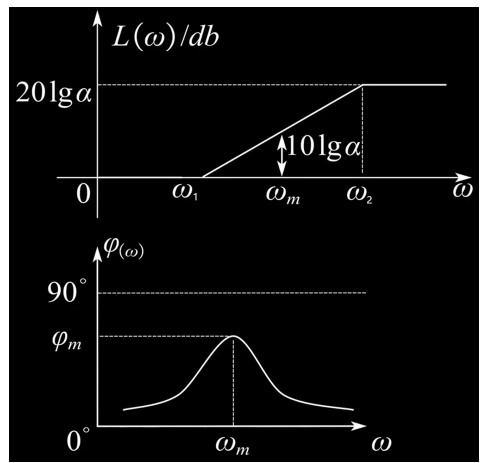


$$G_j(s) = \frac{\alpha Ts + 1}{Ts + 1}, \alpha > 1$$

伯德图如右图，其中 $\omega_1 = \frac{1}{\alpha T}$, $\omega_m = \frac{1}{\sqrt{\alpha}T}$, $\omega_2 = \frac{1}{T}$, ω_m 为最大超前角频率
相频图中最大相角 φ_m 与 α 的关系是

$$\alpha = \frac{1 + \sin \varphi_m}{1 - \sin \varphi_m}$$

记 ω_{c0} 为未校正截止频率, γ_0 为未校正相角裕度, ω_c^* 为题目要求截止频率, γ^* 为题目要求相角裕度



那么使用超前校正有以下两点要求

1. $\omega_{c0} < \omega_c^*$, $\gamma_0 < \gamma^*$ 时优先考虑超前校正
2. 校正系统所需要的最大超前角 φ_m 需要小于 60°

超前校正的具体步骤

下面通过一个例题来说明超前校正的具体步骤。

设单位反馈系统的开环传递函数

$$G_0(s) = \frac{K}{s(s+1)}$$

试设计校正装置 $G_j(s)$, 使得校正后系统满足下列指标:

1. 当输入 $r = t$ 时, 稳态误差 $e_{ss}^* \leq 0.1$
2. 开环系统截止频率 $\omega_c^* \geq 6 rad/s$
3. 相角裕度 $\gamma^* \geq 60^\circ$
4. 幅值裕度 $h^* \geq 10 dB$

第一步：根据稳态误差校正低频段，即求得开环增益 K

注意到是I型系统, 输入为单位斜坡 (等速输入), 根据静态误差系数, $e_{ss} = \frac{1}{K}$, 从而有 $\frac{1}{K} \leq 0.1$, 得到 $K \geq 10$ 。取 $K = 10$, 从而开环传递函数为

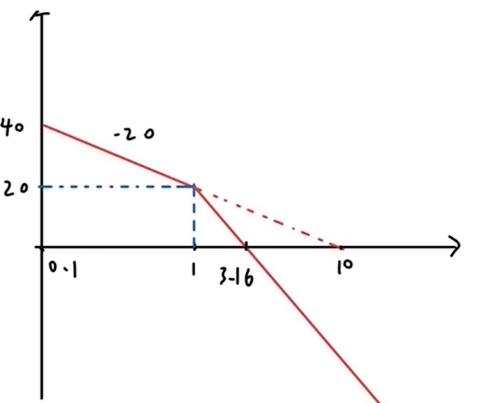
$$G(s) = \frac{10}{s(s+1)}$$

第二步：画出未校正系统的伯德图，求出截止频率 ω_{c0} 和相角裕度 γ_0

画图可以得到 $\omega_{c0} = 3.16 rad/s < \omega_c^*$, $\gamma_0 = 180^\circ + \angle G(j\omega_c) = 17.56^\circ < \gamma^* = 60^\circ$, 因此需要进行超前校正。

最大超前角应该比目标相角裕度和未校正相角裕度的差大 $5^\circ - 12^\circ$, 因为校正过程中会有一些损失。我们一般就取 10° (注意, 如果你最后校正失败了, 把这个角度提一提, 再试几次)

$$\varphi_m = \gamma^* - \gamma_0 + 10^\circ = 52.44^\circ < 60^\circ$$



可以使用超前校正。

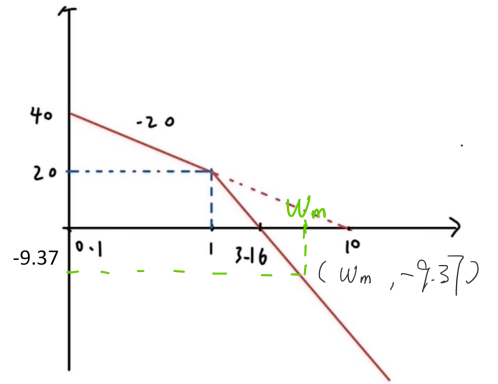
第三步：根据最大超前角 φ_m 求出 α ，从而得到 $\omega = \omega_m$ 得到校正环节给予的幅频增益 $10 \lg \alpha$ ，从而求出按理想情况下校正的截止频率 ω_m

相角裕度 $\gamma = 180^\circ + \angle G(j\omega_c)$ 完全由 ω_c 时的相角决定，因此在理想状态下，最大超前角要加在 $\omega = \omega_c$ 处，因此要让 $\omega_m = \omega_c$ ，此处 ω_c 为校正后的截止频率

$$\alpha = \frac{1 + \sin \varphi_m}{1 - \sin \varphi_m} = 8.65, 10 \lg \alpha = 9.37 dB$$

要让 $\omega_m = \omega_c$ ，需要让 $L(\omega_c) + L(\omega_m) = 0$ ，因此有

$$L(\omega_c) = -10 \lg \alpha = -9.37 dB$$



由图像可以列出

$$\frac{-9.37 - 0}{\lg \omega_m - \lg 3.16} = -40 \Rightarrow \omega_m = 5.42 rad/s$$

第四步：对比 ω_m 与 ω_c^* 的大小，若 $\omega_m < \omega_c^*$ 则取 $\omega_c = \omega_m$ ，若 $\omega_m > \omega_c^*$ 则取 $\omega_c = \omega_c^*$ ，否则不符合题意。也即取 $\omega_c = \max\{\omega_m, \omega_c^*\}$

此题中 $\omega_c = \max\{\omega_m, \omega_c^*\} = 6 rad/s$

取校正环节的 $\omega'_m = \omega_c = 6 rad/s$

如右图，蓝色曲线为校正环节的伯德图，那么在 $\omega = 6$ 时， $L_1(6) + L_2(6) = 0$ 。把图中两个阴影三角形提出来，数据如伯德图上方的两个三角形所示，有

$$h = 20(\lg 6 - \lg \omega_1) = 40(\lg 6 - \lg 3.16)$$

解得 $\omega_1 = 1.67 rad/s$ ，从而很容易求出 $\omega_2 = 21.6 rad/s$

得到校正环节传递函数

$$G_j(s) = \frac{\frac{1}{1.67}s + 1}{\frac{1}{21.6}s + 1}$$

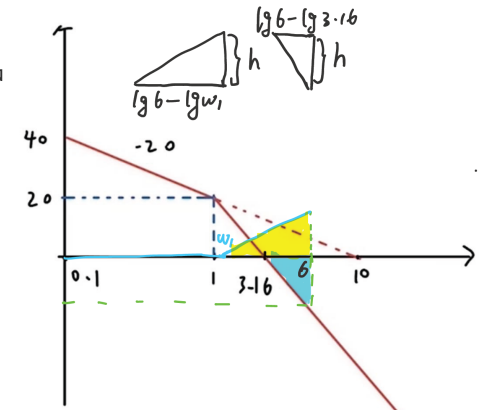
注：如果最后取 $\omega_c = \omega_m$ ，那么 $\omega_1 = \omega_m \cdot \frac{1}{\sqrt{a}}$, $\omega_2 = \omega_m \cdot \sqrt{a}$

第五步：验算

校正后的开环传递函数

$$G(s) = G_0(s)G_j(s) = \frac{10}{s(s+1)} \cdot \frac{\frac{1}{1.67}s + 1}{\frac{1}{21.6}s + 1}$$

$$|G(j\omega)| = \frac{10 \sqrt{(\frac{\omega}{1.67})^2 + 1}}{\omega \sqrt{\omega^2 + 1} \sqrt{(\frac{\omega}{21.6})^2 + 1}}$$



$$|G(j\omega_c)| = 1$$

解得 $\omega_c = 6 \text{ rad/s}$

相角裕度

$$\gamma = 180 + \angle G(j\omega_c) = 68.38^\circ > 60^\circ$$

$$\angle G(j\omega_g) = -\pi$$

你会发现这个方程是没有实根的，原因是

$$\begin{aligned} G(j\omega_g) &= -90^\circ - \arctan(\omega) + \arctan\left(\frac{\omega}{1.67}\right) - \arctan\left(\frac{\omega}{21.6}\right) > -180^\circ \\ \Leftrightarrow \arctan(\omega) - \arctan\left(\frac{\omega}{1.67}\right) + \arctan\left(\frac{\omega}{21.6}\right) &< 90^\circ \end{aligned}$$

显然是成立的

$\omega \rightarrow +\infty$ 时 $G(j\omega_g) \rightarrow -180^\circ$ ，不妨认为 $\omega_g = +\infty$ ，此时 $|G(j\omega_g)| = 0^+$ ，也就是说，幅值裕度 $K_g = +\infty$ ，显然满足要求。

滞后校正

滞后环节的传递函数为

$$G_j(s) = \frac{\beta Ts + 1}{Ts + 1}, \beta < 1$$

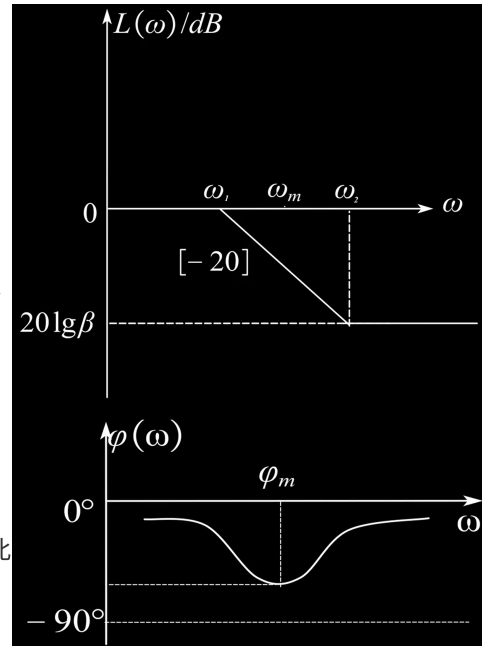
伯德图如右图，其中 $\omega_1 = \frac{1}{T}$, $\omega_m = \frac{1}{\sqrt{\beta}T}$, $\omega_2 = \frac{1}{\beta T}$, ω_m 为最大滞后角频率

记 ω_{c0} 为未校正截止频率， γ_0 为未校正相角裕度， ω_c^* 为题目要求截止频率， γ^* 为题目要求相角裕度， G_0 为未校正前开环传函

那么使用超前校正有以下两点要求

1. $\omega_{c0} > \omega_c^*$, $\gamma_0 < \gamma^*$ 时优先考虑滞后校正
2. $\gamma_0(\omega_c^*) = 180^\circ + \angle G_0(j\omega_c) > \gamma^* + 6^\circ$

原理解释是，相信你已经知道了串联校正就是简单的伯德图叠加，那么由相频曲线可以看到始终小于0，我们即便用相角比较大的部分去校正，也会损失一部分相角，因此需要留出一些裕量，一般取6°即可。



滞后校正的具体步骤

下面通过一个例题来说明滞后校正的具体步骤。

设单位反馈系统的开环传递函数

$$G_0(s) = \frac{K}{s(0.1s + 1)(0.2s + 1)}$$

试设计校正装置 $G_j(s)$ ，使得校正后系统满足下列指标：

- (1) 速度误差系数 $K_v^* = 30$
- (2) 开环系统截止频率 $\omega_c^* \geq 2.3 \text{ rad/s}$
- (3) 相角裕度 $\gamma^* \geq 40^\circ$
- (4) 幅值裕度 $h^* \geq 10 \text{ dB}$

第一步：校正低频段，即求得开环增益 K

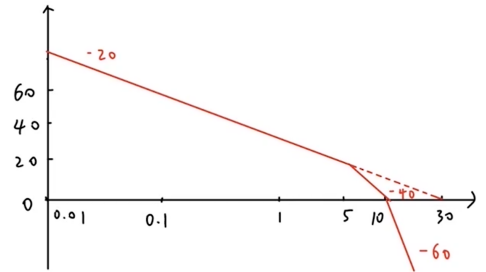
显然有 $K = K_v^* = 30$

第二步：画出未校正系统的伯德图，求出截止频率 ω_{c0} 和相角裕度 γ_0

$$|G_0(j\omega_{c0})| = 1 \Rightarrow \omega_{c0} = 11.45 > \omega_c^* \\ \gamma_0 = 180^\circ + \angle G_0(j\omega_{c0}) = -25.28^\circ < \gamma^*$$

因此我们可以考虑滞后校正。此时我们判断一下前提条件

$$\gamma_0(\omega_c) = 180^\circ + \angle G_0(j\omega_c) = 52.345^\circ > \gamma^* + 6^\circ$$



可以使用滞后校正

第三步：由 $\gamma_0(\omega_c) = \gamma^* + 6^\circ$ 求出 ω_c ，作为最终的截止频率，从而求出 ω_2 ，进而求得 β

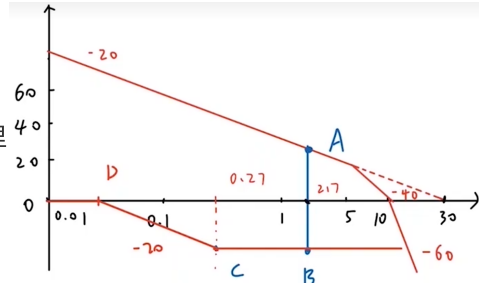
$$\gamma_0(\omega_c) = \gamma^* + 6^\circ \Rightarrow \omega_c = 2.7 \text{ rad/s}$$

将其作为最终的截止频率，为了让相角落在比较大的位置，我们一般取 $\omega_2 = \frac{1}{10}\omega_c$ ，这里 $\omega_2 = 0.27 \text{ rad/s}$

将滞后校正的伯德图画在原伯德图上，如右图所示。

设 $A(2.7, y)$ ，由第一段曲线过 $(1, 20 \lg 30)$ 可以列出

$$\frac{y - 20 \lg 30}{\lg 2.7 - \lg 1} = -20$$



解得 $y = 20.915 \text{ dB}$ ，又有 $20 \lg \beta = -y = -20.915$

解得 $\beta = 0.09$

从而有 $\omega_1 = \omega_2 \beta = 0.0243 \text{ rad/s}$

解得校正环节传递函数

$$G_j(s) = \frac{\frac{1}{0.27}s + 1}{\frac{1}{0.0243}s + 1}$$

第四步：验算

此处不再赘述。

经验公式

其实滞后校正时有一个经验公式，适用于需要校正的I型系统

$$K_v = \frac{1}{\beta} \omega_c$$

这里 ω_c 任取符合题目条件的截止频率

$$\text{然后 } \omega_2 = \frac{1}{10} \omega_c$$

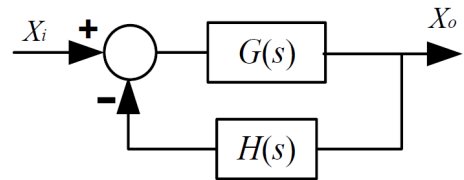
可以尝试用它快速求出滞后校正环节的传递函数并验算。

第八章 根轨迹法

根轨迹的定义

图示系统中开环传递函数为 $G(s)H(s)$, 将其写为标准的零极点形式 (又称为首1标准型):

$$G(s)H(s) = \frac{K^*(s - z_1)(s - z_2) \cdots (s - z_m)}{(s - p_1)(s - p_2) \cdots (s - p_n)} = \frac{K^* \prod_{i=1}^m (s - z_i)}{\prod_{j=1}^n (s - p_j)}$$



其中 K^* 称为根轨迹增益。

该系统的闭环传递函数为 $G(s) = \frac{G(s)}{1 + G(s)H(s)}$, 特征方程为 $1 + G(s)H(s) = 0$

根轨迹是指随着根轨迹增益 K^* 的变化, 闭环系统特征方程的根在复平面上所描绘的轨迹。

根轨迹的绘制法则

1. 根轨迹的起点和终点: 根轨迹起始于 **开环极点**, 终止于 **开环零点**; 如果开环零点个数 m 少于开环极点个数 n , 则有 $n - m$ 条根轨迹终止于无穷远处。注意: 这句话的意思是, 一个开环极点只能指向一个开环零点 (或者指向无穷远), 一个开环零点也只能被一个开环极点指向。在根轨迹图上极点用 **x** 表示, 零点用 **o** 表示。
2. 根轨迹的分支数、对称性和连续性: 根轨迹的分支数与 **开环零点数 m** 、**开环极点数 n** 中的大者相等, 根轨迹连续并且 **对称于实轴**。(因为复数闭环特征根是共轭的)
3. 实轴上的根轨迹: **实轴** 上的某一区域, 若其右边开环 **实数零**、极点个数之和为奇数, 则该区域必是根轨迹。
4. 根轨迹的渐近线: 当系统开环极点个数 n 大于开环零点个数 m 时, 有 $n - m$ 条根轨迹分支沿着与实轴夹角为 φ_a 、交点为 σ_a 的一组渐近线趋向于无穷远处, 且有

$$\begin{cases} \varphi_a = \frac{(2k+1)\pi}{n-m} \\ \sigma_a = \frac{\sum_{j=1}^n p_j - \sum_{i=1}^m z_i}{n-m} \quad (k = 0, \pm 1, \pm 2, \dots, n-m-1) \end{cases}$$

其中 $\sum_{j=1}^n p_j$ 为开环极点的和, $\sum_{i=1}^m z_i$ 为开环零点的和。

渐近线也是对称于实轴的, 将平面平均分为 $n - m$ 份。

例题

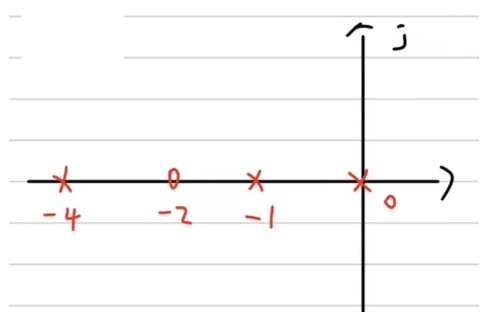
系统的开环传递函数为

$$G(s) = \frac{K^*(s+2)}{s(s+1)(s+4)}$$

绘制根轨迹图。

列出开环极点与开环零点, 并标注在图中。

$$p_1 = 0, p_2 = -1, p_3 = -4; z_1 = -2$$

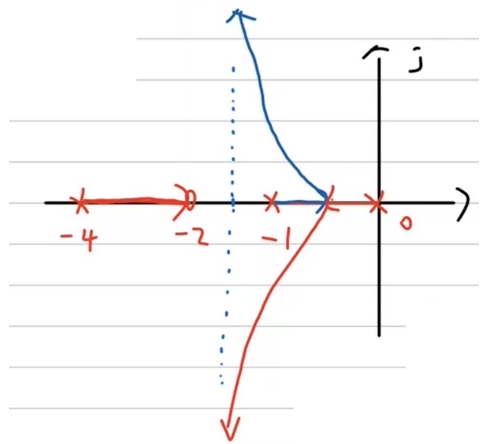


确定分支数，根轨迹的分支数与开环零点数m、开环极点数n中的大者相等，这里是3
确定实轴上的根轨迹，对于区间 $(-\infty, -4)$ 来说，其右边有4个开环极点与零点，因此不是根轨迹。其他区间同理，从而得到实轴上根轨迹的区间为 $(-4, -2)$ 与 $(-1, 0)$
确定是哪个极点指向-2.如果是0或-1指向-2.由以上推测出来的实轴上的根轨迹，根轨迹不能在实轴上。会导致根轨迹关于实轴不对称，因此不成立。

所以是-4指向-2，其余两个极点出发的根轨迹分支指向无穷远处。

确定渐近线，有 $n - m = 2$ 条渐近线，其夹角为 $\frac{\pi}{2}, \frac{3}{2}\pi$ ，与实轴的交点为 $\sigma_a = \frac{0 - 1 - 4 - (-2)}{3 - 1} = -\frac{3}{2}$.据此绘图即可。

右图即为该根轨迹图。



根轨迹的分离点

两条或两条以上根轨迹分支在s平面上相遇又立即分开的点（例如上图中红蓝交界的点），称为根轨迹的分离点，分离点的坐标d是下列方程的解：

$$\sum_{j=1}^m \frac{1}{d - z_j} = \sum_{i=1}^n \frac{1}{d - p_i}$$

式中， z_j 为各开环零点的数值; p_i 为各开环极点的数值;分离角为 $\frac{(2k + 1)\pi}{l}$ 。

这个求分离点的方法等价于，将开环特征方程写成 $\frac{K^* A(s)}{B(s)}$ 的形式，然后解方程 $A'(s)B(s) - A(s)B'(s) = 0$ ，如果开环传递函数分母中含有二阶及以上的因式时，可以使用这种方法求解分离点。

根轨迹与虚轴的交点

将 $s = j\omega$ 代入开环特征方程，求得的 ω 即为根轨迹与虚轴的交点处的虚部。

例题

某单位反馈系统开环传递函数

$$G(s) = \frac{K^*}{s(s + 1)(s + 5)}$$

绘制系统根轨迹。

记得求出分离点并标注于图上。

这里只介绍根轨迹与虚轴交点的求解方法。将 $s = j\omega$ 代入特征方程，得到

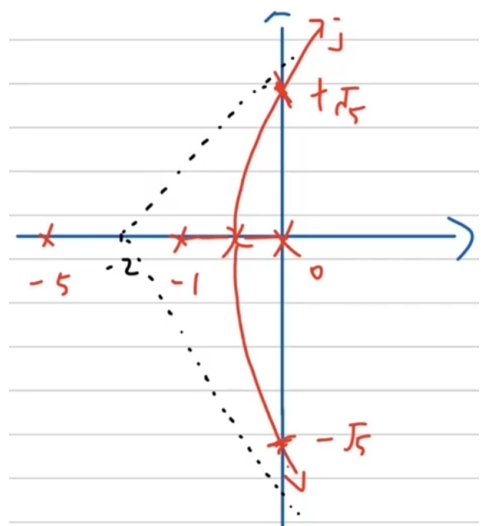
$$j\omega(j\omega + 1)(j\omega + 5) = 0$$

化简得到

$$-6\omega^2 + K^* + (-\omega^3 + 5\omega)j = 0$$

由此可知

$$-6\omega^2 + K^* = 0, -\omega^3 + 5\omega = 0$$



解得 $\omega = \pm\sqrt{5}$, $K^* = 30$

根轨迹的起始角与终止角

根轨迹离开开环复数极点处的切线与正实轴的夹角，称为起始角，以 θ_{p_i} 标志；根轨迹进入开环复数零点处的切线与正实轴的夹角，称为终止角，以 φ_{z_i} 表示。这些角度可按如下关系式求出

$$\theta_{p_i} = (2k + 1)\pi + \left(\sum_{j=1}^m \varphi_{z_j p_i} - \sum_{\substack{j=1 \\ (j \neq i)}}^n \theta_{p_j p_i} \right); \quad k = 0, \pm 1, \pm 2, \dots$$

$$\varphi_{z_i} = (2k + 1)\pi - \left(\sum_{\substack{j=1 \\ (j \neq i)}}^m \varphi_{z_j z_i} - \sum_{j=1}^n \theta_{p_j z_i} \right); \quad k = 0, \pm 1, \pm 2, \dots$$

这看起来很恐怖，但是有简单的记忆方法

我们都知道对于一个传递函数来说，它的相角是根据分子各复数的相角减去分母各复数的相角。分子对应的是零点，分母对应的是极点。

那么以上两个公式我们可以简单记忆为

$$\text{零点角} - \text{极点角} = (2k + 1)\pi$$

，这里 $(2k + 1)\pi$ 通常取 $-\pi$ 比较合适。下面我们通过例题来说明。

起始角（入射角）

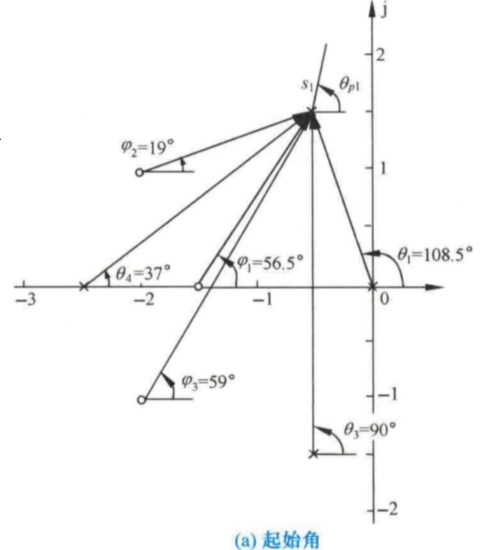
开环传函的各零点和极点都标注于图上。求出 θ_{p1}

求起始角的步骤：

各零点与极点与求起始角的极点连线，从零点向该极点连线与实轴正半轴的夹角是“零点角”，从极点向该极点连线与实轴正半轴的夹角是“极点角”，同时，由于所求起始角从极点发出，我们将起始角也认为是“极点角”

$$\varphi_1 + \varphi_2 + \varphi_3 - \theta_1 - \theta_3 - \theta_4 - \theta_{p1} = -180^\circ$$

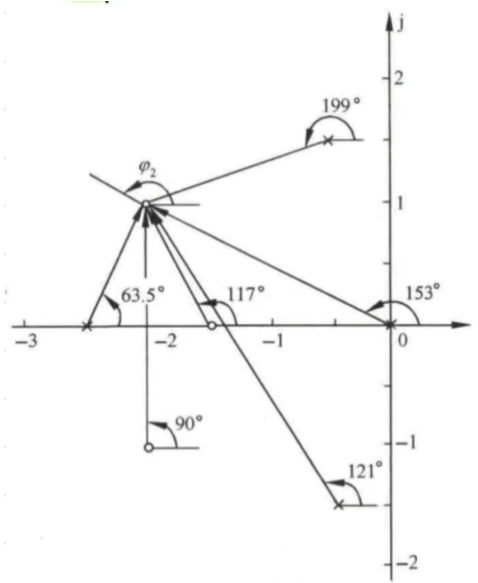
即可求出起始角。



终止角（出射角）

各零点与极点与求终止角的零点连线，从零点向该零点连线与实轴正半轴的夹角是“零点角”，从极点向该零点连线与实轴正半轴的夹角是“极点角”，同时，由于所求终止角从零点结束，我们将终止角也认为是“零点角”

$$\varphi_2 + 90^\circ + 117^\circ - 63.5^\circ - 121^\circ - 199^\circ - 153^\circ = -180^\circ$$



(b) 终止角